

Hysteresis Loss in a $\text{Sm}_1\text{Ba}_2\text{Cu}_3\text{O}_{7-\delta}$ Coated Conductor under Simultaneously Applied Field and Current with Phase Differences

Sang Moo Lee^a, Ye Hyun Jung^a, Kisung Kwak^a, Joonkyu Rhee^a, Jaeun Yoo^a, Dojun Youm^{*,a}, Hosup Kim^b, Hongsoo Ha^b and Sang Soo Oh^b

^a Department of Physics, KAIST, 305-701 Daejeon, Republic of Korea

^b Superconducting Materials Research Group, KERI, 28-1, Seongju-dong, Changwon, 641-120, Republic of Korea

(Received 3 March 2009; revised 26 March 2009; accepted 31 March 2009)

위상차를 갖고 변화하는 자기장과 전류가 동시에 가해진 $\text{Sm}_1\text{Ba}_2\text{Cu}_3\text{O}_{7-\delta}$ Coated Conductor의 자기이력 손실

이상무^a, 정예현^a, 광기성^a, 이준규^a, 유재은^a, 염도준^{*,a}, 김호섭^b, 하홍수^b, 오상수^b

Abstract

The magnetic field profiles near the surface of a $\text{SmBa}_2\text{Cu}_3\text{O}_{7-\delta}$ coated conductor (CC-tape) under magnetic field and current that were applied simultaneously with phase differences ϕ s were measured using scanning Hall probe method. Measurements were carried out along the elliptic load lines with $\phi = 90^\circ$ and 45° for some B_{peak} , I_{peak} values. From the measured field profiles, sheet current density $J(x, B_a, I_a)$ and magnetic flux density $B_0(x, B_a, I_a)$ profiles in the CC-tape were calculated. Using these $J(x, B_a, I_a)$ and $B_0(x, B_a, I_a)$ profiles, we estimated the hysteresis energy loss Q in the CC-tape. The estimated Q s, together with our previous results for $\phi = 0^\circ$ from [9], were compared with theoretical values based on Brandt's calculation.

Keywords : coated conductor, SmBCO, magnetic hysteresis loss, scanning Hall probe method

I. Introduction

초전도 디바이스에서의 자기이력 손실은 주로 초전도 선재에서 생기는 vortex들의 hysteretic한

움직임에 기인한다 [1]. Vortex들은 초전도체 내부의 자기 선속을 구성한다. 고온초전도 coated conductor(CC-tape)로 구성된 디바이스의 경우, CC-tape의 큰 표면적 때문에 vortex 움직임의 hysteretic한 특성이 매우 두드러져 큰 에너지 손실이 나타나게 된다.

디바이스 내의 CC-tape의 모든 부분에는 교류

*Corresponding author. Fax : +82 42 350 5530

e-mail : djyoum@kaist.ac.kr

전류와 교류 자기장이 동시에 가해지게 된다. 자기장은 디바이스에 흐르는 전체 전류에 의해 만들어진다. 총 에너지 손실은 CC-tape 각 부분에서의 부분적인 에너지 손실을 모두 합해 구할 수 있다. 따라서, 주기적으로 변화하는 외부전류 I_a 와 자기장 B_a 가 가해질 때, CC-tape의 한 부분에서 나타나는 에너지 손실 특성을 알아내는 것이 필요하다.

I_a 와 B_a 는 위상차 ϕ 를 가질 수 있다. 예를 들어 변압기의 경우, 전류 I_a 와 I 가 각각 1차와 2차 코일에 흐르면, 어떤 위치에서의 자기장 B_a 는 $B_a = \alpha I_a + \beta I$ 와 같다. 여기서 α 와 β 는 구조에 의해 결정되는 매개변수로서 B_a 의 위치에 따라 변한다. 부하 저항 R 은 2차 코일의 출력전압과 $IR = d\Phi/dt$ 의 관계를 갖는다. 여기서, Φ 는 2차 코일의 모든 턴을 통과하는 총 자기 선속이다. Φ 는 B_a 에 비례하므로 $\Phi = \gamma B_a$ 와 같이 표현할 수 있고, 구조에 의해 결정되는 계수 γ 는 B_a 의 위치에 따라 변한다. 이 식들로부터 $\alpha I_a = B_a - \frac{\beta\gamma}{R} \frac{dB_a}{dt}$ 와 같은 관계가 성립한다.

따라서, R 이 크면 ϕ 는 매우 작고, R 이 매우 작으면 ϕ 는 $\sim 90^\circ$ 가 된다. 고정된 R 에 대해 ϕ 는 상수가 되고, B_a - I_a 공간에서 점 (B_a, I_a) 는 Fig. 1에서 보여진 것과 같이 타원형 load line 궤도를 따라 주기적으로 움직인다. 이 그림에는 B_a 가 양수인 반 주기에 대한 load line만을 나타냈다. 타원 load line은 $[\phi, B_{peak}, I_{peak}]$ 에 의해 결정되는데, B_a 와 I_a 는 각각 $-B_{peak} \sim B_{peak}$, $-I_{peak} \sim I_{peak}$ 범위에서 ϕ 의 위상차를 갖고 변화한다. 45° , 90° 의 위상차를 갖는 load line을 그림에 나타내었고, 각 load line에 대한 $[\phi, B_{peak}, I_{peak}]$ 값들은 그림에 나타낸 것과 같다. B_{peak} 와 I_{peak} 의 단위는 각각 mT 와 A 이다. 자기이력 손실에서는 자기장 수직 성분의 기여가 주요하므로 B_a 가 CC-tape 표면에 수직으로 가해진 경우만을 고려하였다 [2].

CC-tape의 단위 길이당 자기이력 손실 Q 는 전류밀도와 자속밀도 변화량의 곱을 적분하여 구할 수 있다 [3].

$$Q = \int_{-w}^w dx \int_0^x dx' \oint J(x, B_a, I_a) dB_0(x', B_a, I_a) \quad (1)$$

여기서, x 는 CC-tape의 폭 방향이고, $2w$ 는 테이프의 폭이다. $J(x, B_a, I_a)$ 는 x 에서의 sheet current density이다. $J(x, B_a, I_a)$ 는 테이프의 길이 방향으로 일정하다고 가정하였다. $B_0(x, B_a, I_a)$ 는 초전도 박막의 자속밀도이다. 이 적분은 load line을 따라 B_a, I_a 변화의 한 주기에 대해 적분하여야 한다.

CC-tape의 초전도 박막은 여러 grain들로 이루어지고, 그 결정축은 bi-axial하게 정렬되어 있다. $J(x, B_a, I_a)$ 는 inter-granular transport current와 magnetization의 공간적인 변화에 의해 결정되는 magnetization current로 이루어져 있다 [4]. 각 grain 내에서 회전하는 intra-granular current에 의해 유도되는 magnetization이 주어지면, 그 크기는 grain 크기에 따라 변한다. Grain 크기는 테이프 폭에 비해 매우 작아서 $J(x, B_a, I_a)$ 와 $B_0(x, B_a, I_a)$ 는 여러 grain에 걸친 평균값으로 정의된다.

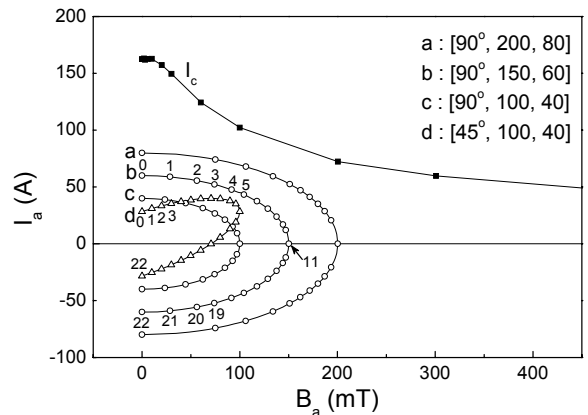


Fig. 1. Half parts of the load lines for the positive values of B_a . The values of $[\phi, B_{peak}, I_{peak}]$ for the load lines indexed by a, b, c and d are listed. The units of B_{peak} and I_{peak} are mT and A , respectively. The circles and the triangles on the load lines represent the step points of measurement, and the numbers near the points are the step numbers, n . The $I_c(B_a)$ curve is also shown.

Brandt 등과 Clem 등은 단결정과 같이 균일한 구조를 갖는 얇은 띠 형태의 초전도체에서 I_a 와 B_a 의 특정한 조합에 대해서만 $J(x, B_a, I_a)$ 와 $B_0(x, B_a, I_a)$ 의 해석적 계산을 했다 [3, 5]. 하지만, 균일한 초전도 띠에 대한 일반적인 해는 아직 풀리지

않았다. 또한, CC-tape과 같이 granular한 구조를 갖는 얇은 띠 형태의 초전도체에 대해서도 역시 해가 구해진 바 없다 [3]. 따라서, granular film에서의 vortex 움직임의 자세한 특성은 거의 이해되지 못했다. 하지만, 이론적으로 제한된 경우들에 대해, 실험적으로 측정된 데이터로부터 $J(x, B_a, I_a)$ 를 계산하는 것은 가능하다. CC-tape 시료 표면 근처에서의 자기장을 scanning Hall probe(SHP) 방법을 이용해 측정하여, 그 데이터로부터 $J(x, B_a, I_a)$ 를 수치적인 inversion 계산을 통해 구할 수 있다 [6-9].

II. Experiments

이번 실험에는 본 연구실의 지난 연구에 사용된 것과 같은 CC-tape 시료와 장치를 사용하였다 [9]. 간략하게, 기판 테이프는 IBAD-MgO textured Hastelloy 기판에 50 nm 두께의 LaMnO₃ 완충층을 증착하여 만들어졌다. 약 2 μm 두께의 SmBCO 박막은 co-evaporation 방식으로 증착되었고, 그 위에 약 5 μm 두께의 은이 증착되어 있다. 사용된 CC-tape 길이는 30 mm, 폭은 4 mm이다. X-ray diffraction으로 측정한 in-plane texture는 $\sim 6^\circ$ -FWHM 정도이다. Self-field에서의 임계전류, I_{c0} 는 Fig. 1에 보여진 바와 같이 77K에서 약 162 A이다.

CC-tape 표면으로부터 약 $\delta = 400 \mu\text{m}$ 떨어진 위치에서 SHP 방법을 통해 자기장의 수직성분 profile $B_\delta(x, B_a, I_a)$ 를 측정하였다. 홀 프로브는 x 방향으로 움직이며 스캔한다. SHP 시스템에 대한 자세한 내용은 본 연구실의 지난 논문에 나와있다 [6-9]. 먼저, CC-tape을 액체질소 온도로 zero-field cooling하고, I_a 와 B_a 를 동시에 가하여 단계적으로 변화시킨다. 각 스텝에서는 I_a 와 B_a 를 고정시킨 상태에서 SHP 측정을 한다. CC-tape와 Hall probe는 액체질소에 담겨져 온도를 일정하게 유지한다.

Fig. 1에 보여진 각 load line에 대해 SHP 측정이 이루어졌는데, load line 상에 도형으로 나타낸 모든 step point에서 순차적으로 측정을 행하였다. Load line $[\phi, B_{peak}, I_{peak}]$ 의 각 step point에 대한 B_a ,

I_a 값은 각각 $B_a = B_{peak} \sin\theta_n$, $I_a = I_{peak} \sin(\theta_n + \pi\phi/180)$ 와 같이 정해지는데, 여기서 n 은 스텝의 순서를 나타내는 것으로, 반주기에 대해 0(첫 번째 스텝)에서 N (마지막 스텝)까지의 값을 갖는다. 예로 load line b, d의 step number n 들을 Fig. 1에 나타냈다. 각 점은 SHP 측정의 n 번째 스텝에 해당하는 $(B_a, I_a)_n$ 을 나타낸다. 첫 번째 스텝은 zero-field cooling한 virgin state가 아니고 B_a 와 I_a 를 load line을 따라 한 cycle을 변화시켜준 후의 상태이다. θ_n 은 0에서 π 까지 증가하고, B_a 와 I_a 는 각각 $-B_{peak} \leq B_a \leq B_{peak}$ 와 $-I_{peak} \leq I_a \leq I_{peak}$ 범위에서 위상차 ϕ 를 갖고 변화한다.

다른 B_{peak} , I_{peak} 값에 대한 새로운 set의 데이터를 측정하기 전에 시료의 온도를 임계온도 이상으로 올려 트랩된 자기장을 모두 제거한 후 다시 zero-field cooling을 하였다.

III. Results and analyses

전형적인 $B_\delta(x, B_a, I_a)$ 의 예로 $[\phi, B_{peak}, I_{peak}]$ 이 $[90^\circ, 150, 60]$ 인 데이터와 $[45^\circ, 100, 40]$ 인 데이터를 각각 Fig. 2a와 3a에 나타내었다. 이것은 각각 Fig. 1의 load line b와 d에 해당한다. 두 개의 수직 한 점선은 CC-tape의 가장자리를 나타낸 것으로서, $x = \pm 2 \text{ mm}$ ($= \pm w$)인 위치이다. 곡선 근처에 적혀있는 숫자는 step number n 이다. 첫 번째 스텝 ($n = 0$)과 마지막 스텝 ($n = N$)에 해당되는 $(B_a, I_a)_n$ 값은 각각 $[0, I_{peak} \sin(\pi\phi/180)]_0$ 과 $[0, -I_{peak} \sin(\pi\phi/180)]_N$ 인데, 서로 역전되어 있는 모양을 볼 수 있다. 따라서, $n = 0$ 과 $n = N$ 에 해당하는 profile은 $B_\delta[x, (B_a, I_a)_0] = -B_\delta[x, (B_a, I_a)_N]$ 의 관계가 성립한다. 이로부터 $B_\delta(x, B_a, I_a)$ 의 주기적인 변화를 확인할 수 있다. $[90^\circ, 150, 60]$ 의 경우를 보면, 비대칭적인 profile ($n = 0$)에서 대칭인 profile ($n = 11$)을 지나 비대칭적인 profile ($n = 22 = N$)로 변화한다. 이것은 각각 $(0, 60)_0$, $(150, 0)_{11}$, $(0, -60)_{22}$ 에 해당한다. $[45^\circ, 100, 40]$ 인 경우에도 $I_a = 0$ 인 $n = 15$ 에서 대칭적인 profile을 나타내고 있다. 따라서, $I_a = 0$ 일 때에 profile이 대칭적인 모양을 갖는다. 다른 load line에 대한 데이터도 이들과 유사한 형태

를 갖고 있어 그림으로 나타내지 않았다.

이렇게 측정된 $B_\delta(x, B_a, I_a)$ 데이터를 통해 sheet current density $J(x, B_a, I_a)$ 와 초전도체의 자속밀도 수직성분 $B_0(x, B_a, I_a)$ 를 계산하고, 그 결과를 이용해 자기이력 손실 Q 를 계산할 수 있는데, 그 방법은 다음과 같다.

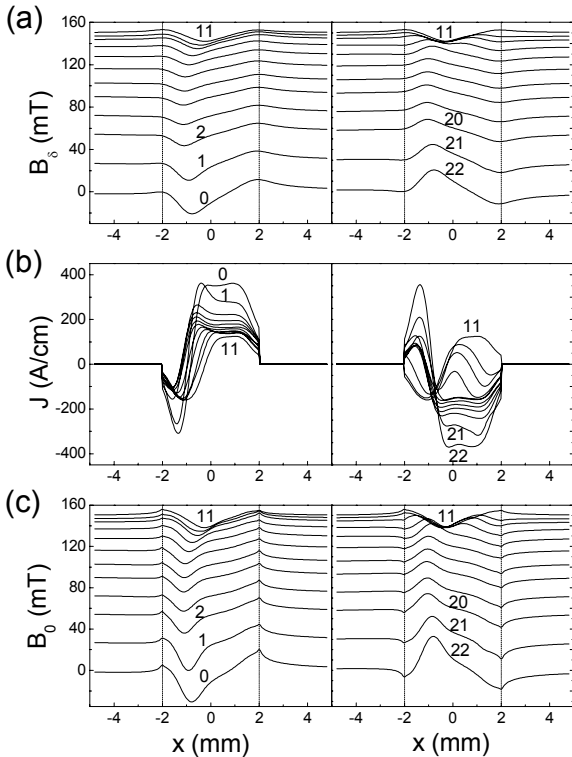


Fig. 2. (a) $B_\delta(x, B_a, I_a)$ for the load line b : $[90^\circ, 150, 60]$. (b) $J(x, B_a, I_a)$ calculated from $B_\delta(x, B_a, I_a)$ of (a). (c) $B_0(x, B_a, I_a)$ calculated from $J(x, B_a, I_a)$ of (b). The two vertical dotted lines on (a) and (c) indicate the edges of the CC-tape, and the numbers near the curves are the step numbers n .

(A) Calculation of $J(x, B_a, I_a)$

$\delta = 400 \mu\text{m}$ 에서 측정된 $B_\delta(x, B_a, I_a)$ 와 $J(x, B_a, I_a)$ 는 다음과 같은 관계를 갖는다 [3].

$$B_\delta(x, B_a, I_a) = \frac{\mu_0}{2\pi} \int_{-w}^w \frac{(x-x')J(x', B_a, I_a)}{(x-x')^2 + \delta^2} dx' + B_a \quad (2)$$

이 식의 역을 수치적으로 구함으로써 $J(x, B_a, I_a)$ 를

구할 수 있는데, Johansen의 계산과정을 reference로 이용하였다 [10-13]. 이 inversion formula를, boundary correction을 해주며 반복적으로 적용하여 개선된 계산을 해낼 수 있다. 자세한 계산과정과 이 inversion method의 유용성은 앞에 언급한 본 연구실의 지난 논문에 나와있다 [6-9].

Fig. 2b와 3b에 Fig. 2a, 3a의 $B_\delta(x, B_a, I_a)$ 로부터 계산한 $J(x, B_a, I_a)$ profile을 나타내었다. 곡선 근처에 적힌 숫자는 역시 step number이다. 각 데이터에서 $\int_{-w}^w J(x, B_a, I_a) dx$ 를 이용해 계산한 총전류는 측정 시에 가해준 I_a 와 $\sim 5\%$ 이내로 일치한다. 이를 통해 이 계산의 정확도를 알 수 있다.

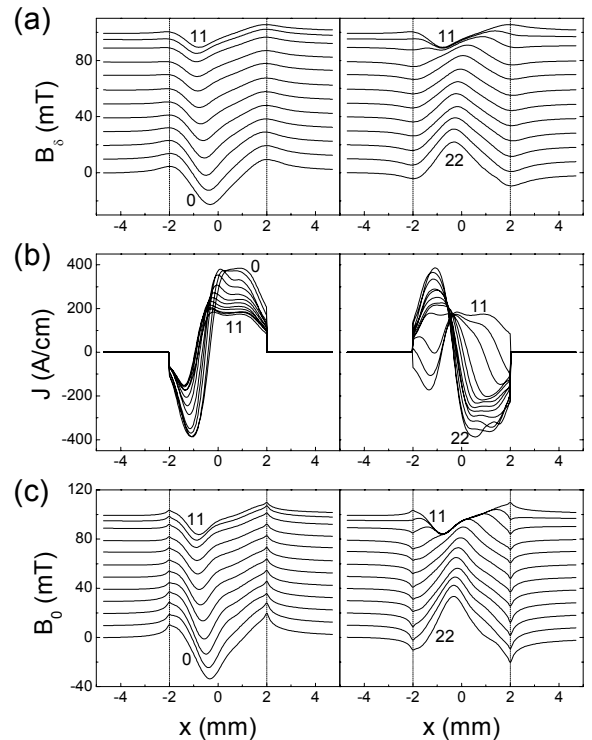


Fig. 3. (a) $B_\delta(x, B_a, I_a)$ for the load line d : $[45^\circ, 100, 40]$. (b) $J(x, B_a, I_a)$ calculated from $B_\delta(x, B_a, I_a)$ of (a). (c) $B_0(x, B_a, I_a)$ calculated from $J(x, B_a, I_a)$ of (b). The two vertical dotted lines on (a) and (c) indicate the edges of the CC-tape, and the numbers near the curves are the step numbers n .

(B) Calculation of $B_0(x, B_a, I_a)$

식 (2)에서 $\delta = 0$ 인 경우에 해당하는 초전도체

내의 자속밀도 $B_0(x, B_a, I_a)$ 는 $J(x, B_a, I_a)$ 와 다음과 같은 관계를 갖는다 [3].

$$B_0(x, B_a, I_a) = \frac{\mu_0}{2\pi} \int_{-w}^w \frac{J(x', B_a, I_a)}{x-x'} dx' + B_a \quad (3)$$

따라서, (A)에서와 같이 구한 $J(x, B_a, I_a)$ 를 식 (3)에 대입하여 $B_0(x, B_a, I_a)$ 를 구할 수 있다. Fig. 2c와 3c에 각각 Fig. 2b, 3b의 전류밀도 분포로부터 구한 $B_0(x, B_a, I_a)$ 를 나타내었다. 곡선 근처의 숫자는 역시 step number이다. $n = 0$ 과 $n = N$ 의 profile이 서로 역전되어있음을 볼 수 있고, 따라서, $B_0[x, (B_a, I_a)_0] = -B_0[x, (B_a, I_a)_N]$ 가 성립함을 알 수 있다. 모든 profile들이 각각에 해당하는 $B_\delta(x, B_a, I_a)$ 와 유사하지만, 이 경우에는 시료의 두 가장자리 위치에 뾰족한 peak이 나타난다.

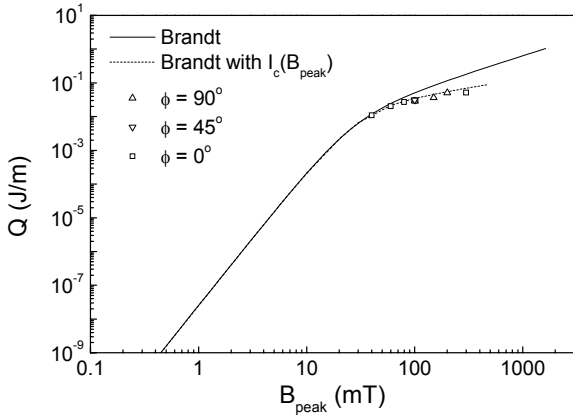


Fig. 4. Log-log plot of $Q(B_{peak})$. The triangles and the squares are the values of Q that were numerically calculated from $J(x, B_a, I_a)$ and $B_0(x, B_a, I_a)$ for the load lines of Fig. 1 ($\phi = 90^\circ$ and 45°) and for $\phi = 0^\circ$, respectively. Data for $\phi = 0^\circ$ are reproduced from our previous study [9]. The solid line is the result of Brandt's calculation for a superconducting thin strip under a perpendicular magnetic field, and the dotted line is the Brandt's formula with experimentally measured $I_c(B_{peak})$.

(C) Calculation of Q

$J(x, B_a, I_a)$ 와 $B_0(x, B_a, I_a)$ 로부터 다음과 같은 formula를 사용해 Q 를 수치적으로 계산할 수 있다.

$$Q = 2 \left[\int_0^w dx \int_0^x dx' - \int_{-w}^0 dx \int_{-x}^0 dx' \right] \sum_{n=0}^{N-1} [B_0(x', I_{n+1}) - B_0(x', I_n)] \frac{[J(x, I_{n+1}) + J(x, I_n)]}{2} \quad (4)$$

이 formula는 식 (1)에서 $J dB_0$ 에 대한 적분을 함으로 바꾼 것이다. Fig. 4는 계산된 Q 값들을 B_{peak} 에 대한 함수로 log-log plot한 것이다.

이 그림에서 $\phi = 0^\circ$ 의 데이터는 앞에 언급한 본 연구실의 지난 논문에서 자기장의 영향이 큰 경우의 데이터들을 가져온 것이다 [9]. 다른 위상차 ϕ 에 해당하는 모든 점들이 거의 한 곡선상에 들어오는 것을 볼 수 있는데, 이것은 B_{peak} 이 I_{peak} 의 self field보다 훨씬 큰 경우, Q 는 I_{peak} 이나 ϕ 에 관계없이 B_{peak} 에 의해 결정됨을 의미한다. 예로, 거의 같은 B_{peak} 값을 갖는 $[90^\circ, 100, 40]$, $[45^\circ, 100, 40]$, $[0^\circ, 99, 48.6]$, 그리고 $[0^\circ, 101, 17.7]$ 의 Q 값들이 거의 일치한다.

Fig. 4의 실선은 얇은 띠 형태의 초전도에 B_δ 를 수직으로 가해주었을 때의 Q 에 대한 Brandt의 계산 결과로서 $Q_{M, Brandt} = (\mu_0 I_c^2 / \pi) \cdot f_M(B_{peak} / B_c)$ 와 같다. 여기서, 함수 $f_M(y) = 2 \ln \cosh y - y \tanh y$ 이고, $B_c = \mu_0 I_c / 2\pi w$ 이다 [3]. 이 formula에 사용된 I_c 는 self field에서의 I_c , 즉 $I_c(B_a = 0)$ 이다. 점선으로 나타낸 곡선은 이 formula에서 I_c 를 자기장의 함수인 $I_c(B_{peak})$ 를 사용해 보정한 결과로서, Fig. 1의 $I_c(B_a)$ 에서 구한 값이다. Brandt의 계산 결과가 100 mT 이상의 고자기장에서의 실험값과 큰 차이를 보이는 것과 달리, 이와 같은 보정을 통한 계산 결과는 실험치에 좀 더 가까운 결과를 보여주고 있으나, 여전히 실험값이 약간 작은 값을 나타내고 있다. 사실, 위의 이론값과의 비교를 통한 분석이 본 실험의 경우에 적절한 것은 아니다. 이번 실험의 조건들이 자기장의 영향이 좀 더 주요한 경우에 해당하나 [3, 9], 위의 formula는 앞에 말한 바와 같이 자기장만을 가해줬을 경우에 대한 계산 결과이고, 단결정과 같은 균일한 시료에 대한 이론이기 때문이다. 하지만, 아직까지는 자기장과 전류를 위상차를 갖고 동시에 가해준 경우나 CC-tape와 같은 granular film의 경우를 잘 설명해 주는 이론은 나와있지 않다.

IV. Concluding remarks

위상차 ϕ 를 갖고 변화하는 자기장과 전류를 CC-tape에 가해주며 SHP 방법을 통해 측정된 field profile로부터 자기이력 손실 Q 를 구했다. 몇 개의 B_{peak} , I_{peak} 값에 대해 90° 와 45° 의 위상차를 갖는 load line을 따라 자기장과 전류를 변화시켜 주며 측정을 하였다. 이번 실험의 Q 값들을 본 연구실의 앞선 논문 [9]에 나온, $\phi = 0^\circ$ 이고 자기장 영향이 큰 경우의 데이터와 함께 B_{peak} 에 대한 함수로 plot 해보면, 모든 점들이 거의 한 곡선에 들어오는 것을 볼 수 있었다. 이를 통해 B_{peak} 이 I_{peak} 의 self field보다 큰 경우, 자기이력 손실이 위상차나 I_{peak} 에 관계없이 B_{peak} 에 의해 결정된다는 것을 알 수 있다.

이렇게 구한 Q 값들을 변화하는 수직자기장 하에 놓인 얇은 띠 형태의 초전도에 대한 Brandt의 계산 결과와 비교해 보았는데, 100 mT 이상의 고자기장에서 큰 차이를 나타냈다. Brandt의 formula에 $I-V$ 측정을 통해 구한, 자기장에 따라 변하는 I_c 값을 대입해 보정해준 결과는 실험값에 더 가깝지만 여전히 실험값이 조금 더 작은 값을 나타내고 있다. 이렇게 자기장과 전류가 동시에 가해진 경우나 CC-tape와 같이 granular 구조를 갖는 시료에 대한 이론적 연구가 아직은 더 필요한 상황이다.

Acknowledgments

This work was supported by the Centre for Applied Superconductivity Technology in the Republic of Korea.

References

- [1] M. N. Wilson, Superconducting Magnets, Clarendon Press Oxford (1983).
- [2] N. Amemiya, Z. Jiang, Y. Iijima, K. Kakimoto, T. Saitoh, "Total AC loss of YBCO coated conductor carrying AC transport current in AC transverse magnetic field with various orientations", Supercond. Sci. Technol., 17, 983 (2004).
- [3] E. H. Brandt and M. Indenbom, "Type-II-superconductor strip with current in a perpendicular magnetic field", Phys. Rev. B, 48 12893 (1993).
- [4] W. J. Carr, "Loss in a striated coated conductor", Supercond. Sci. Technol., 20, 168 (2007).
- [5] E. Zeldov, J. R. Clem, M. McElfresh and M. Darwin, "Magnetization and transport currents in thin superconducting films", Phys. Rev. B, 49, 9802 (1994).
- [6] Jaemun Yoo, Yonghwan Jung, Jaeyoung Lee, Sunme Lim, Sangmoo Lee, YeHyun Jung, Dojun Youm, Hosup Kim, Hongsoo Ha and Sangsoo Oh, "Scanning Hall probe measurements of field distributions of a coated conductor under applied fields", Supercond. Sci. Technol., 19, 1291 (2006).
- [7] Jaemun Yoo, Sangmoo Lee, YeHyun Jung, Jaeyoung Lee, Dojun Youm, Rock-Kil Ko and Sangsoo Oh, "Calculations of AC current losses and AC magnetic losses from the scanning Hall probe measurements for a coated conductor", Physica C, 468, 160 (2008).
- [8] Jaemun Yoo, Sangmoo Lee, YeHyun Jung, Jaeyoung Lee, Dzung Nguyen Xuan, Dojun Youm, Hosup Kim, Hongsoo Ha, Kyujeong Song, Sangsoo Oh and Sangjun Oh, "The effects of a magnetic field dependent critical current on the hysteresis loss of a coated conductor", Supercond. Sci. Technol., 21, 085020 (2008).
- [9] Jaemun Yoo, Sangmoo Lee, Yehyun Jung, Kisung Kwak, Joonkyu Rhee, Dojun Youm, Hosup Kim, Hongsoo Ha, Sangsoo Oh and Sangjun Oh, "Estimation of hysteresis loss in $\text{Sm}_1\text{Ba}_2\text{Cu}_3\text{O}_{7-\delta}$ coated conductor via scanning Hall probe measurements with simultaneously applied field and current", Supercond. Sci. Technol., 22, 045001 (2009).
- [10] T. H. Johansen, M. Baziljevich, H. Bratsberg, Y. Galperin, P. E. Lindelof, Y. Shen and P. Vase, "Direct observation of the current distribution in thin superconducting strips using magneto-optic imaging",

- Phys. Rev. B, 54, 16264 (1996).
- [11] M. E. Gaevski, A. V. Bobyl, D. V. Shantsev, Y. M. Galperin, T. H. Johansen, M. Baziljevich and H. Bratsberg, "Magneto-optical study of magnetic-flux penetration into a current-carrying high-temperature-superconductor strip", Phys. Rev. B, 59, 9655 (1999).
- [12] L. Lucarelli, G. Luepke, T. J. Haugan, G. A. Levin and P. N. Barnes, "Time-resolved magneto-optical imaging of $Y_1Ba_2Cu_3O_{7-\delta}$ thin films in high-frequency AC current regime", Supercond. Sci. Technol., 19, 667 (2006).
- [13] A. V. Bobyl, D. V. Shantsev, Y. M. Galperin, T. H. Johansen, M. Baziljevich and S. F. Karmanenko, "Relaxation of transport current distribution in a YBaCuO strip studied by magneto-optical imaging", Supercond. Sci. Technol., 15, 82 (2002).